

УДК 537.311.322

© 1990

## ЧАСТОТНАЯ ЗАВИСИМОСТЬ ПРОВОДИМОСТИ АМОРФНЫХ ОКИСЛОВ ТАНТАЛА

**ПРИ НАЛИЧИИ ПОСТОЯННОГО СМЕЩАЮЩЕГО НАПРЯЖЕНИЯ**

*B. B. Брыксин, Л. Г. Карпухина, С. Д. Ханин*

Произведены измерения проводимости на переменном токе аморфных окислов  $Ta_2O_5$  при наличии приложенного к образцу постоянного смещающего напряжения. Частотная дисперсия существенно зависит от величины смещающего напряжения. В области не слишком больших напряжений смещения дисперсия проводимости усиливается с ростом смещения, а при достаточно сильных полях смещения, наоборот, ослабляется. Выявлена характерная частота, ниже которой смещение сильно влияет на частотную дисперсию, а выше ее влияние смещения практически отсутствует. Полученные температурные и полевые зависимости дисперсии на эксперименте качественно объясняются процессами перераспределения электронной плотности в пространстве в неупорядоченных системах при протекании в них тока, обусловленного смещающим напряжением.

Произведенные измерения частотной зависимости проводимости  $\sigma(\omega)$  аморфных окислов  $Ta_2O_5$  обнаружили сильную частотную дисперсию  $\sigma$  начиная с области сверхнизких частот порядка  $10^{-3} \text{ с}^{-1}$  [1]. При  $\omega > 10^{-1} \text{ с}^{-1}$  зависимость  $\sigma(\omega)$  близка к характерной для неупорядоченных систем  $\sigma \sim \omega^s$  с  $s \approx 0.95$ . Зависимость такого типа обычно интерпретируется в рамках теории прыжков по кластерам конечных размеров. При этом линейный размер характерного кластера  $\mathcal{L}$  зависит от частоты, логарифмически возрастаая с уменьшением  $\omega$  [<sup>2-4</sup>]. В этом режиме, называемом режимом мультиплетных перескоков,

$$\sigma(\omega) \sim i\omega \{\ln(i\omega/W_c)\}^{-l}, \quad (1)$$

где  $W_c$  — вероятность критического прыжка в бесконечном кластере, определяющая величину статической проводимости [4]. Показатель  $l$  в (1) равен 1 в приближении эффективной среды. В скейлинговой теории он отождествляется с критическим индексом для среднеквадратичного смещения носителя при случайных блужданиях по узлам переколяционной сетки ниже порога протекания [5]. Согласно этой теории,  $l=2\nu$  [<sup>5</sup>] или  $l=2\nu-\beta$  [<sup>6</sup>], где  $\nu=0.9$  и  $\beta=0.4$  — критические индексы корреляционной длины и мощности бесконечного кластера соответственно.

Зависимость  $\sigma(\omega)$  в форме (1) близка к  $\omega^s$  с  $s < 1$ , однако кривая  $\ln \sigma$  от  $\ln \omega$  имеет слабо выраженный вогнутый характер (т. е. показатель  $s$  медленно возрастает с частотой), что и наблюдалось на эксперименте в  $Ta_2O_5$  в широком частотном интервале.

В настоящей работе сообщается об измерениях частотной зависимости проводимости аморфного окисла  $Ta_2O_5$  в условиях, когда на образец наряду со слабым переменным сигналом подается сильное постоянное смещающее напряжение, создающее постоянное поле  $E_0 \sim 10^6 \text{ В/см}$ . Как показывает эксперимент [1], в полях такой напряженности статическая вольт-амперная характеристика (ВАХ) имеет нелинейный характер. В этой области полей дифференциальная проводимость по мере роста  $E_0$  вначале падает (до полей порядка  $2 \cdot 10^6 \text{ В/см}$ ), а лишь затем начинает расти. Такой характер полевой зависимости дифференциальной проводи-

ности вообще свойствен неупорядоченным средам в условиях  $R$ -протекания (т. е. при достаточно высоких температурах). Это явление наблюдается, например, и в легированных полупроводниках [7, 8]. Физической причиной падения проводимости с ростом поля являются перестройка путей протекания в сильных полях и захват носителей мертвыми концами бесконечного проводящего кластера [9, 10].

Величина постоянного смещения  $E_0$  на эксперименте выбиралась в районе минимума зависимости  $\sigma(E_0)$  на статической ВАХ. В силу этого проводимость на переменном сигнале при  $\omega \rightarrow 0$  со смещением оказывалась меньше, чем статическая электропроводность в слабом поле в области закона Ома. Измерения проводились на аморфных оксидных пленках  $Ta_2O_5$  толщиной 1700 Å, полученных посредством электрохимического оксидирования тантала по методике [11]. Определялась активная составляющая комплексной проводимости оксида в конденсаторной структуре  $Ta-Ta_2O_5$  — электролит (38%-ный водный раствор  $H_2SO_4$ ) в инфразвуковом и звуковом диапазонах частот без приложения и с приложением постоянного напряжения. В качестве измерительной схемы использовался двухплечевой дифференциальный мост с параллельной схемой замещения исследуемой конденсаторной структуры. При приложении постоянного смещения последовательно с генератором переменного сигнала амплитудой 100 мВ подключался источник напряжения постоянного тока, шунтированный конденсатором большой емкости.

Полученные экспериментальные зависимости  $\sigma(\omega)$  при разных смещающих напряжениях  $U_{cm}$  и температурах приведены на рис. 1. Видно, что в широком частотном интервале зависимость  $\ln \sigma$  от  $\ln \omega$  хорошо укладывается на прямую линию, т. е. частотная зависимость проводимости со смещением имеет характер  $\omega^s$ . Однако величина  $s$  при наличии смещения оказывается большей, чем при  $E_0=0$ , и, что особенно интересно, становится больше 1. Так, для 298 К (рис. 1) параметр  $s \approx 1.25$ .

Такое большое значение  $s$  не согласуется с обычными представлениями о межузельных фононных перескоках, для которых  $s$  меньше 1. Условие  $s < 1$  выполняется во всем частотном интервале от мультиплетных прыжков до двухузельных перескоков. В двухузельной модели зависимость  $\ln \sigma$  от  $\ln \omega$  принимает слабовыпуклый характер, и для нее  $s \approx 0.8$  [4, 12]. Лишь при бесфононном механизме перескоков  $s \leq 2$  [4, 13, 14], но этот механизм перескоков может преобладать лишь в области очень высоких частот и заведомо неприложим к нашим результатам, так как измерения проводились лишь в низкочастотной области.

Физической причиной усиления частотной зависимости проводимости при приложении постоянного смещающего напряжения, на наш взгляд, является пространственное перераспределение носителей заряда в неупорядоченном материале под действием поля. Если в отсутствие внешнего постоянного напряжения носители заряда равномерно распределены по узлам (рассматривается модель без диагонального беспорядка, когда вероятности нахождения электронов на узлах локализации одинаковы),<sup>1</sup> то при протекании по образцу постоянного тока носители осаждаются на мертвых концах проводящего кластера, образуя «электронные капли» — области повышенной концентрации электронов. Эти электронные капли вклада в проводимость на постоянном токе не вносят. При наложении переменной составляющей напряжения эти захваченные электроны «оживают» и начинают двигаться, давая вклад в переменную составляющую тока. Вклад в ток от капли зависит от частоты и ее размера: чем больше размер капель, тем при меньшей частоте она начинает давать вклад в ток. Этот

<sup>1</sup> Модель недиагонального беспорядка применима к аморфному  $Ta_2O_5$  при температурах от комнатной и выше. В этой области температурная зависимость электропроводности имеет активационный характер. При понижении температуры эта зависимость принимает характер закона Мотта, что свидетельствует о переходе  $R$ -протекания к  $R-e$ -протеканию. Таким образом, в области низких температур учет диагонального беспорядка уже необходим [1].

эффект и приводит к усилению частотной зависимости  $\sigma$  с ростом постоянного смещения. Действительно, с ростом  $E_0$  все большая часть электронов оказывается связанный в каплях, что в результате и приводит к уменьшению статической дифференциальной проводимости. Зафиксируем теперь  $E_0$  и начнем увеличивать частоту. При очень низкой частоте вклад в ток дают только незахваченные электроны. Затем постепенно начинают вступать в игру электронные капли, начиная с самых больших. Это означает, что

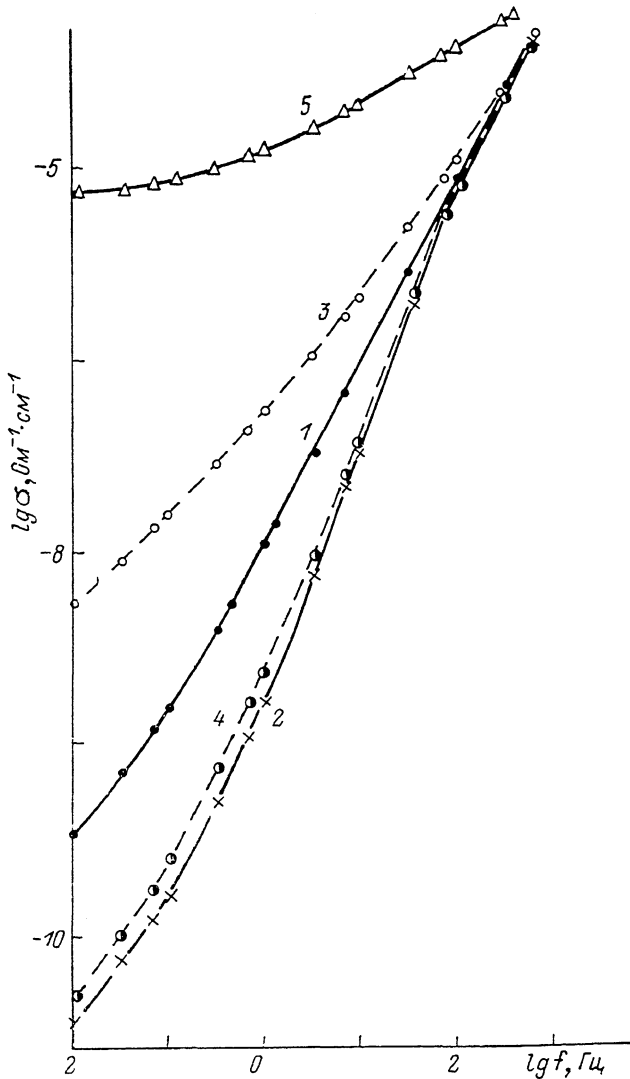


Рис. 1. Частотная зависимость электропроводности пленки аморфного  $Ta_2O_5$ .

$U_{cm}$  (В),  $T$  (К): 1 — 0, 298; 2 — 50 ( $E_0 = 2.9 \cdot 10^6$  В/см), 298; 3 — 0, 358; 4 — 50, 358; 5 — 90 ( $E_0 = 5.3 \cdot 10^6$  В/см), 298. Толщина пленки 1700 Å.

по мере роста  $\omega$  возрастает эффективная концентрация подвижных носителей, что и приводит к усилению частотной зависимости электропроводности при протекании по образцу постоянной составляющей тока.

Перейдем к математическому описанию рассматриваемого явления. В области мультиплетной проводимости, когда прыжки осуществляются по кластерам больших, но конечных размеров, наличие постоянного смещения отражается на характере частотной зависимости проводимости в том случае, если внутри данного кластера под действием приложенного смещения происходит заметное перераспределение носителей по узлам. Представляется разумным предположить, что перераспределение носите-

ней в кластере управляется безразмерным барометрическим параметром  $eU/kT$ , где  $U$  — падение напряжения на кластере длиной  $\mathcal{L}$ ,  $U=E_0\mathcal{L}$ . Отсюда следует, что проводимость на переменном токе при наличии постоянного смещения можно описать формулой

$$\sigma(E_0, \omega) = \sigma(0, \omega) g(eE_0\mathcal{L}/kT). \quad (2)$$

Входящая в это соотношение безразмерная функция  $g(x) \rightarrow 1$  при  $x = eE_0\mathcal{L}/kT \rightarrow 0$ . Проводимость  $\sigma(0, \omega)$  описывается формулой (1). С самого начала ясно, что соотношение (1) справедливо лишь для кластеров больших размеров, когда  $\mathcal{L} \gg N^{-1/3}$ , где  $N$  — концентрация узлов локализации,  $N^{-1/3}$  — среднее расстояние между ними. Кроме того, (2) предполагает, что поле не слишком велико, так что  $eE_0N^{-1/3} < kT$ . В очень сильных полях, когда это соотношение не выполняется, начинается пробой мертвых концов, линии постоянного тока выпрямляются, электронные капли начинают исчезать. В этой области полей следует ожидать, что ВАХ принимает характер экспоненциального роста тока с полем [4].

Имеется характерная частота  $\omega_0$ , при которой безразмерный параметр  $eE_0\mathcal{L}/kT$  становится порядка единицы. Частотная зависимость этого параметра появляется вследствие зависимости от  $\omega$  размера кластера  $\mathcal{L}$ . Определим  $\omega_0$  следующим образом:

$$c[eE_0\mathcal{L}(\omega_0)/kT] = 1, \quad (3)$$

где  $c$  — численный коэффициент. Так как размер кластера  $\mathcal{L}$  монотонно уменьшается с ростом  $\omega$ , то при  $\omega > \omega_0$  кластер настолько мал, что неоднородность распределения электронов внутри него несущественна. Отсюда следует, что при  $\omega > \omega_0$  постоянное смещающее напряжение слабо влияет на величину проводимости на переменном токе  $\sigma(E_0, \omega) \approx \sigma(0, \omega)$ . И, наоборот, при  $\omega < \omega_0$  размер кластера велик и перераспределение носителей внутри него за счет смещения радикально влияет на величину электропроводности на переменном сигнале  $\sigma(E_0, \omega)$ .

Последовательно обосновать зависимость (2) в настоящее время удается лишь для простейшей модели одномерной неупорядоченной системы со случайно оборванными связями. В этой модели вероятность перескока между ближайшими соседями равна либо  $w$  с вероятностью  $1-\epsilon$ , либо  $0$  с вероятностью  $\epsilon$ . При таких предположениях задача о частотной зависимости электропроводности при наличии постоянного смещения решается точно [2] и результат имеет вид

$$\sigma = \frac{e^2 a^2 w^2 n}{kT s} \int_0^\infty dx x e^{-x} \left\{ \chi^2 + \lambda^2 - 2\chi \lambda \frac{\operatorname{ch}(\lambda x/\epsilon) \operatorname{ch}(\chi x/\epsilon) - 1}{\operatorname{sh}(\lambda x/\epsilon) \operatorname{sh}(\chi x/\epsilon)} \right\}. \quad (4)$$

Здесь произведено аналитическое продолжение  $s=i\omega$ ,  $a$  — постоянная решетки,  $n$  — концентрация электронов. Смещающее поле  $E_0$  предполагается не слишкоменным, так что безразмерный параметр  $\lambda = eE_0a/2kT \ll \ll 1$ . Рассматривается также область не слишком высоких частот, когда параметр  $\chi = \sqrt{\lambda^2 + s/w} \ll 1$ . При этом характерный размер связанного кластера велик  $\epsilon \ll 1$ , так что параметры  $\lambda/\epsilon$  и  $\chi/\epsilon$  произвольны.

С помощью кластерного метода [2] эта модель связывается с более реалистической, когда вероятности прыжков между ближайшими соседями имеют широкий разброс. Основная идея кластерного метода тесно связана с теорией протекания. Начнем мысленно разрывать случайные связи начиная с самых малых  $w=0$  и вплоть до некоторого  $w=w_{\text{opt}}$ . Затем все оставшиеся  $w > w_{\text{opt}}$  заменим на минимальное значение  $w_{\text{opt}}$ . Тогда задача сводится к модели разрезанной сетки, в которой  $w=w_{\text{opt}}$ , а величина  $w_{\text{opt}}$  связана с  $\epsilon$ . Рассмотрим одномерную систему с вероятностями прыжка между ближайшими соседями  $w=w_0 \exp(-2\alpha R)$ , где  $\alpha^{-1}$  — радиус локализованного состояния;  $R$  — расстояние между ближайшими соседями,

предполагаемое случайной величиной, распределенной по Пуассону. Тогда связь между  $w_{\text{opt}} = w_0 e^{-\alpha R_{\text{opt}}}$  и  $\varepsilon$  есть

$$\frac{1}{a} \int_{R_{\text{opt}}}^{\infty} dR \exp(-R/a) = \varepsilon, \quad w_{\text{opt}} = w_0 \varepsilon^{2\alpha}. \quad (5)$$

Здесь  $a$  — среднее расстояние между узлами ближайших соседей, соответствующее постоянной решетки в модели разрезанной сетки. Подставляя в (4)  $w = w_{\text{opt}}$  в форме (5), получаем

$$\sigma(p) = \frac{e^2 a^2 w_0 n}{kT} \left( \frac{s}{w_0} \right)^{\alpha a / (\alpha a + 1)} \mathcal{J}(p, \tilde{\lambda} p^{-\alpha a / (\alpha a + 1)}), \quad (6)$$

где

$$\begin{aligned} \mathcal{J}(p, u) &= p^{-\frac{2\alpha a}{\alpha a + 1}} \int_0^\infty dx x e^{-x} \left\{ 1 + 2u^2 - 2u \sqrt{1+u^2} \frac{\operatorname{ch}(pux) \operatorname{ch}(px \sqrt{1+u^2}) - 1}{\operatorname{sh}(pux) \operatorname{sh}(px \sqrt{1+u^2})} \right\}, \\ p &= \varepsilon^{\alpha a + 1} \sqrt{s/w_0}, \quad \tilde{\lambda} = \lambda (s/w_0)^{-1/2(\alpha a + 1)}. \end{aligned}$$

Центральной идеей кластерного метода является выбор  $\varepsilon_{\text{opt}}$  (или  $p_{\text{opt}}$ ). Функция  $\mathcal{J}$  обращается в нуль на обоих концах промежутка изменения  $0 < p < \infty$ , имея внутри этого промежутка максимум. Это свойство позволяет производить построение оптимального кластера из условия максимальности проводимости системы. Отсюда следует, что уравнение для  $p_{\text{opt}} = \varepsilon_{\text{opt}}^{\alpha a + 1} \sqrt{s/w_0}$  имеет вид

$$d\mathcal{J}/dp|_{p=p_{\text{opt}}} = 0. \quad (7)$$

Из этого уравнения следует, что  $p_{\text{opt}}$  зависит от частоты только через параметр  $\tilde{\lambda}$ ,  $p_{\text{opt}} = p_{\text{opt}}(\tilde{\lambda})$ . Подставляя в (6)  $p = p_{\text{opt}}$ , получаем искомую оценку для проводимости одномерной системы при случайно расположенных узлах решетки

$$\sigma(E_0, \omega) \simeq \frac{e^2 a^2 w_0 n}{kT} \left( \frac{s}{w_0} \right)^{\alpha a / (\alpha a + 1)} \mathcal{J}(\tilde{\lambda}) \equiv \sigma_0(\omega) g(\tilde{\lambda}), \quad (8)$$

где

$$\sigma_0(\omega) = \frac{e^2 a^2 w_0 n}{kT} \left( \frac{s}{w_0} \right)^{\alpha a / (\alpha a + 1)} \mathcal{J}(0), \quad g(\tilde{\lambda}) = \frac{\mathcal{J}(\tilde{\lambda})}{\mathcal{J}(0)}. \quad (9)$$

Здесь  $\sigma_0(\omega)$  — электропроводность в отсутствие постоянного смещения.

Формула (8) приняла форму (2), и теперь нужно лишь доказать, что  $\tilde{\lambda} = eE_0 \mathcal{L}/kT$ , т. е.  $\mathcal{L} = (1/2) a (\omega/w_0)^{-1/2(\alpha a + 1)}$ . Тот факт, что размер критического кластера для мультиплетных перескоков связан с частотой именно этим соотношением, доказан в [2].

Предположив теперь, что соотношение (2) справедливо и для трехмерных систем, обратимся к оценке величины характерной частоты смены режимов  $\omega_0$ . Согласно [2], для трехмерной модели  $R$ -протекания размер характерного кластера зависит от частоты следующим образом:

$$\mathcal{Z}(\omega) \simeq N^{-1/3} \{ \ln(\omega/W_c)/\alpha N^{-1/3} \}^{-1/2}, \quad (10)$$

где  $\alpha^{-1}$  — боровский радиус локализованного состояния,  $\alpha N^{-1/3} \gg 1$ . Подставляя (10) в (3), получаем искомое выражение для граничной частоты

$$\omega_0 = W_c \exp \left\{ \alpha N^{-1/3} \left( c \frac{eE_0 N^{-1/3}}{kT} \right)^{2/3} \right\}. \quad (11)$$

Выражение (11) позволяет сравнить теорию с приведенными на рис. 1 экспериментальными результатами. Как в теории, так и в эксперименте наличие постоянного смещения существенно влияет на проводимость на переменном токе лишь в низкочастотной области. Эксперимент не обна-

руживает резкого перехода при изменении частоты от режима больших кластеров при малых  $\omega$  к режиму кластеров малых размеров при больших  $\omega$ : зависимости  $\sigma(0, \omega)$  и  $\sigma(E_0, \omega)$  по мере роста частоты сближаются плавно. Это обстоятельство согласуется с соотношением (11), где в экспоненте присутствует неопределенный численный коэффициент  $c$ . Наличие широкой частотной области перехода от режима больших кластеров к малым физически тесно связано с фактом слабой (логарифмической) зависимости размера характерного кластера от частоты (см. (10)). Экспериментальный результат — в области  $\omega < \omega_0$  наличие постоянного смещения приводит к усилению частотной зависимости проводимости — обсуждался выше.

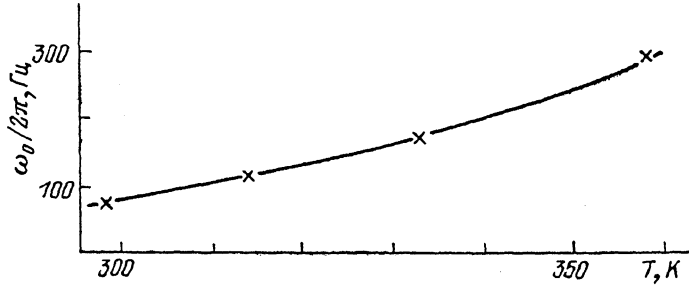
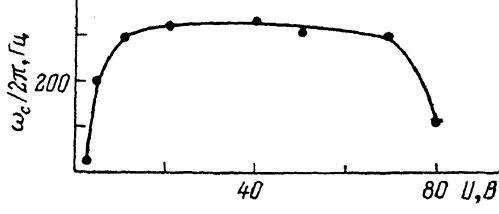


Рис. 2. Температурная зависимость граничной частоты при  $U_{\text{cm}} = 50$  В ( $E_0 = 2.9$  В/см).

Обратимся теперь к температурной зависимости граничной частоты  $\omega_0$ . Измерения этой величины при разных температурах (на рис. 2) обнаруживают рост  $\omega_0$  от  $T$ . Согласно же (11), если  $W_c$  не зависит от температуры, предсказывает падение  $\omega_0$  с ростом  $T$ . Однако  $W_c$  слабо зависит от температуры лишь в случае отсутствия барьера при межузельном перескоке при слабой электрон-фононной связи. Ситуация резко меняется при надбарьерных прыжках, в частности при сильной электрон-фононной связи в модели поляронов малого радиуса. Для надбарьерных перескоков  $W_c \sim \exp(-E_a/kT)$ , где  $E_a$  — высота барьера. В этом случае темпера-

Рис. 3. Зависимость граничной частоты от потенциала смещения для образцов  $\text{Ta}_2\text{O}_5$  толщиной 1700 Å при 298 К.



турная зависимость  $\omega_0$  в (11) определяется двумя конкурирующими факторами:  $W_c$  с ростом температуры растет, в то время как выписанный явно в (11) экспоненциальный множитель падает. При достаточно большой высоте барьера тенденция к росту  $\omega_0$  с  $T$  преобладает. Таким образом, наблюдаемый на эксперименте рост  $\omega_0$  с температурой говорит, по-видимому, в пользу сильной электрон-фононной связи в  $\text{Ta}_2\text{O}_5$ .

Обсудим теперь полевую зависимость  $\omega_0$ . Согласно (11),  $\omega_0$  экспоненциально возрастает с ростом  $E_0$ . Следует, однако, иметь в виду, что использование (11) имеет смысл лишь в области не слишком больших полей, когда параметр  $eE_0N^{-1/3}/kT \ll 1$ , а статическая дифференциальная проводимость падает с ростом  $E_0$  (для  $\text{Ta}_2\text{O}_5$  это соответствует  $E_0 \lesssim 2 \div 3 \times 10^6$  В/см). В области роста дифференциальной проводимости с полем начинаются процессы пробоя мертвых концов, линии тока выпрямляются, в результате чего использованные выше соображения, основанные на теории протекания, отказывают. Однако очевидно, что в столь сильных полях поначалу замедляется рост  $\omega_0$  с  $E_0$ , а затем, когда дифференциальная проводимость начинает интенсивно возрастать, должен начаться обратный процесс падения  $\omega_0$  с ростом  $E_0$ . Экспериментальная зависимость  $\omega_0$ ,

от  $E_0$  приведена на рис. 3 и качественно согласуется с изложенными теоретическими соображениями.

Более детальное количественное сравнение теории с экспериментом в настоящее время едва ли оправдано по двум причинам. Во-первых, измерения произведены в сравнительно узком температурном интервале. Во-вторых, использованные на эксперименте поля смещения были сравнительно велики, так что параметр  $eE_0N^{-1/3}/kT$  не мал. Действительно, приведенная в [1, 15] оценка величины  $W_c$  при комнатной температуре ( $W_c \sim \sim 10^{-3} \text{ с}^{-1}$ ) показывает, что  $\omega_0/W_c \sim 10^6 \div 10^8$ . Тогда, согласно (11), на эксперименте параметр  $aN^{-1/3} (ceE_0N^{-1/3}/kT)^{2/1} \sim 15 \div 20$ . Так как для  $Ta_2O_5$   $aN^{-1/3} \sim 10$ , то  $eE_0N^{-1/3}/kT \sim 1$ . Поэтому для детального анализа приведенных экспериментальных данных необходимо учитывать отличие от нуля этого параметра, что должно видоизменить базовое соотношение (2).

В заключение обсудим частотную зависимость проводимости в области сверхсильных полей смещения, когда на статической ВАХ ток экспоненциально возрастает с ростом  $E_0$ . Как видно из рис. 1, в этой области полей частотная дисперсия  $\sigma$  уменьшается и становится даже слабее, чем в условиях отсутствия смещения. Этот экспериментальный факт вполне согласуется с предлагаемой в настоящей статье моделью. Действительно, по мере роста поля параметр  $eE_0N^{-1/3}/kT$  становится большим, вследствие чего электронная плотность внутри капли уже крайне неоднородна. В таких условиях основной вклад в переменный ток дают пары узлов на краю кластера, для которых электронная плотность максимальна. Это означает, что в этой области полей смещения частотную зависимость  $\sigma$  можно описывать в рамках двухузельной модели. Этот вывод подтверждается и расчетом в рамках описанной выше одномерной модели разрезанной сетки, где при  $\lambda > 1$  двухузельная модель оправдывается для сколь угодно низких частот. В рамках двухузельной модели частотная зависимость  $\sigma$  слабее, чем в кластерном приближении. Дальнейший рост поля приводит к межкластерному пробою, в результате чего ток в системе протекает более или менее однородно по объему образца. Это приводит к исчезновению специфики неоднородных систем — протеканию тока вдоль одномерных путей, — приводящей к частотной дисперсии проводимости. При однородном протекании тока по объему частотная дисперсия  $\sigma$  и вовсе должна исчезать, как это имеет место в однородных средах при марковских блужданиях электронов по узлам решетки [4].

#### Список литературы

- [1] Брыксин В. В., Дьяконов М. Н., Ханин С. Д. // ФТТ. 1980. Т. 22. № 5. С. 1403—1410.
- [2] Böttger H., Bryksin V. V., Yashin G. Yu. // J. Phys. C. 1979. V. 12. N 19. P. 3951—3965.
- [3] Zvaggin I. P. // Phys. St. Sol. (b). 1980. V. 97. N 1. P. 143—149.
- [4] Böttger H., Bryksin V. V. Hopping conduction in solids. Akademie—Verlag, Berlin, 1985. P. 398.
- [5] de Gennes P. G. // J. Phys. (Paris) Lett. 1976. V. 37. N 1. P. L1—L2.
- [6] Stauffer D. // Phys. Rep. 1979. V. 54. N 1. P. 1—41.
- [7] Redfield D. // Adv. Phys. 1975. V. 24. N 4. P. 463—487.
- [8] Забродский А. Г., Шлимак И. С. // ФТП. 1977. Т. 11. № 4. С. 736—740.
- [9] Böttger H., Bryksin V. V. // Phil. Mag. B. 1980. V. 42. N 2. P. 297—310.
- [10] Nguen van Lien, Shklovskiy B. I. // Sol. St. Comm. 1981. V. 38. N 2. P. 99—102.
- [11] Бокий Л. П., Данилюк Ю. Л., Дьяконов М. Н., Котусова И. С., Миразов В. А., Муждаба В. М., Розенберг Л. А., Ханин С. Д. // Электрохимия. 1979. Т. 15. № 9. С. 1307—1312.
- [12] Мотт Н., Дэвис Э. Электронные процессы в некристаллических веществах. Т. 1. М.: Мир, 1982. 368 с.
- [13] Mott N. F. // Phil. Mag. 1970. V. 22. N 1. P. 7—17.
- [14] Бёттегер Х., Брыксин В. В. // ФТТ. 1976. Т. 18. № 7. С. 1888—1894.
- [15] Брыксин В. В., Дьяконов М. Н., Муждаба В. М., Ханин С. Д. // ФТТ. 1982. Т. 24. № 3. С. 2682—2685.